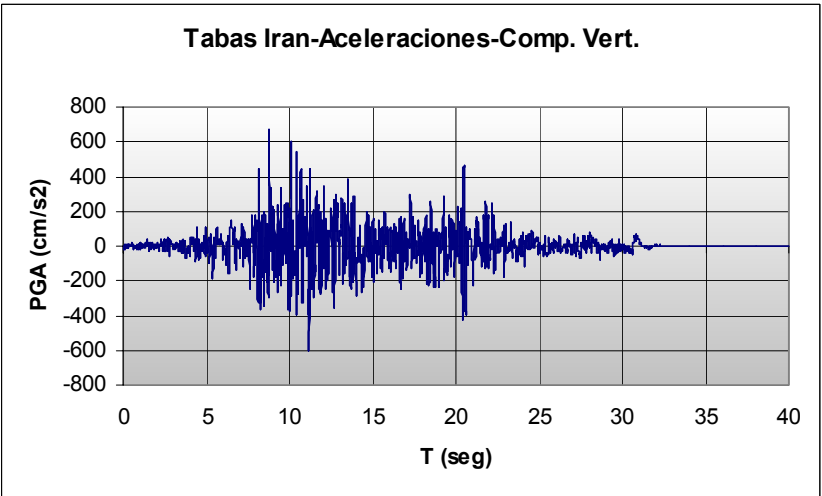
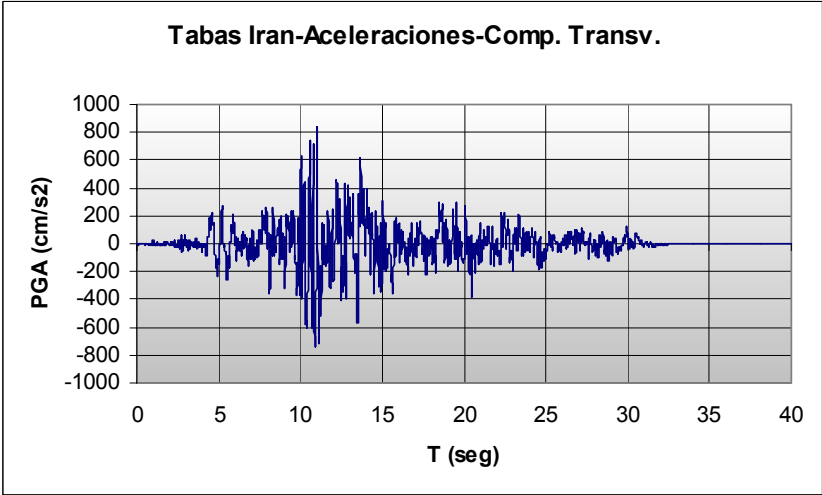
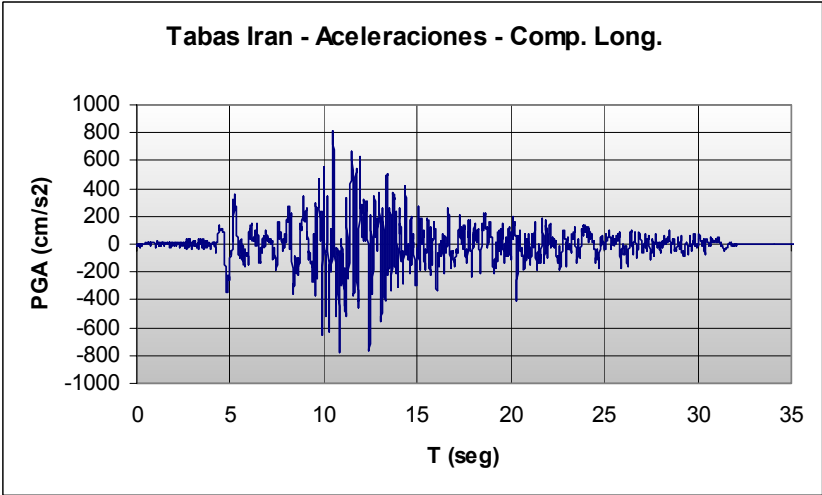
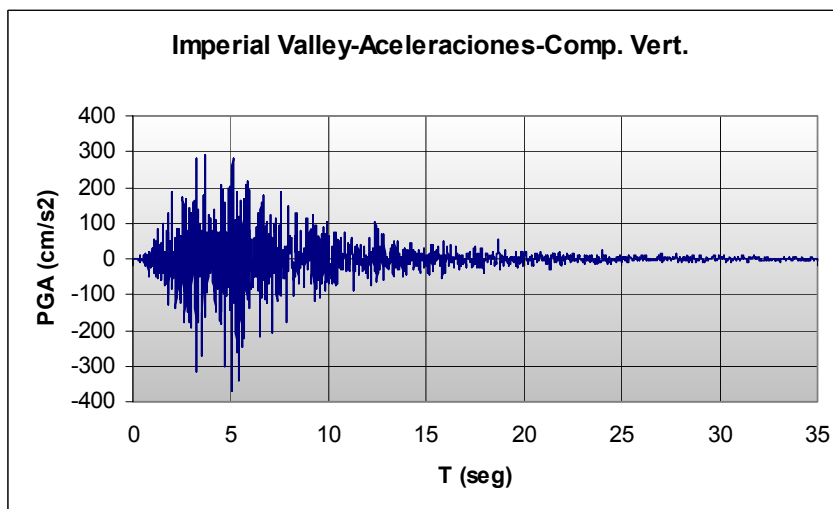
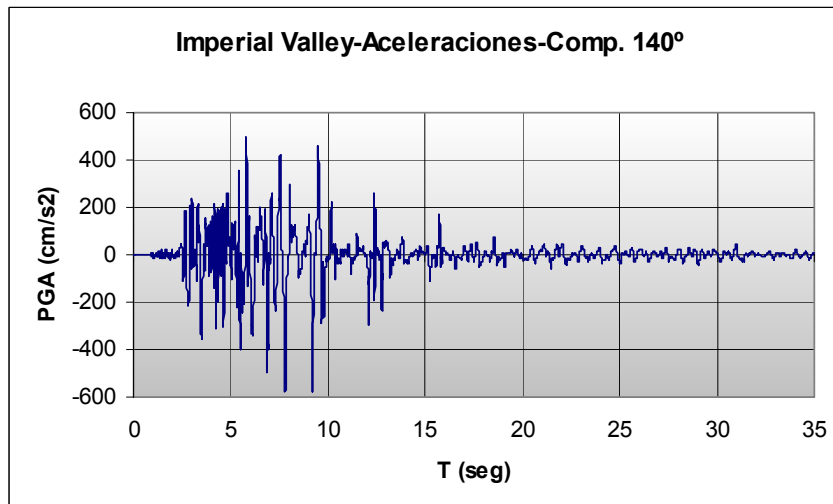
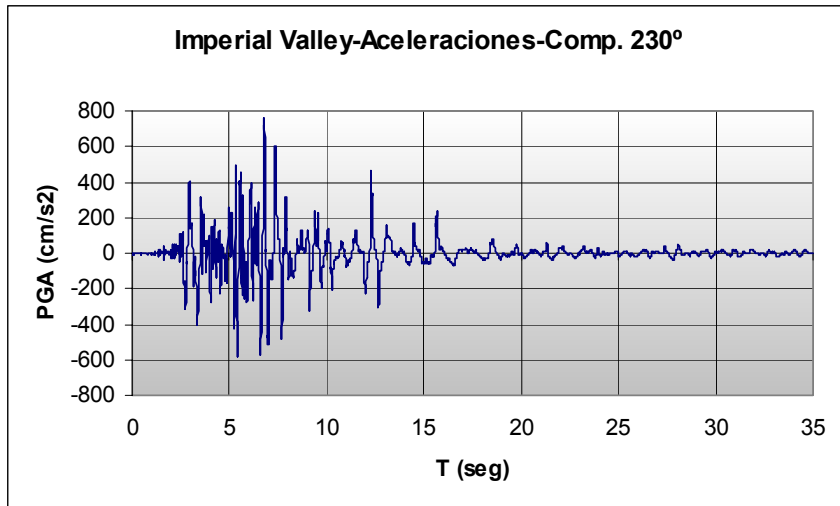


ANEXO B

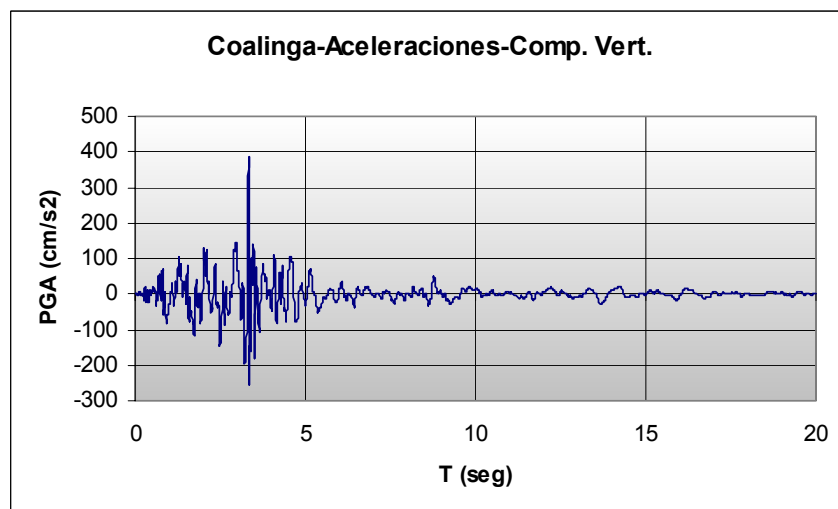
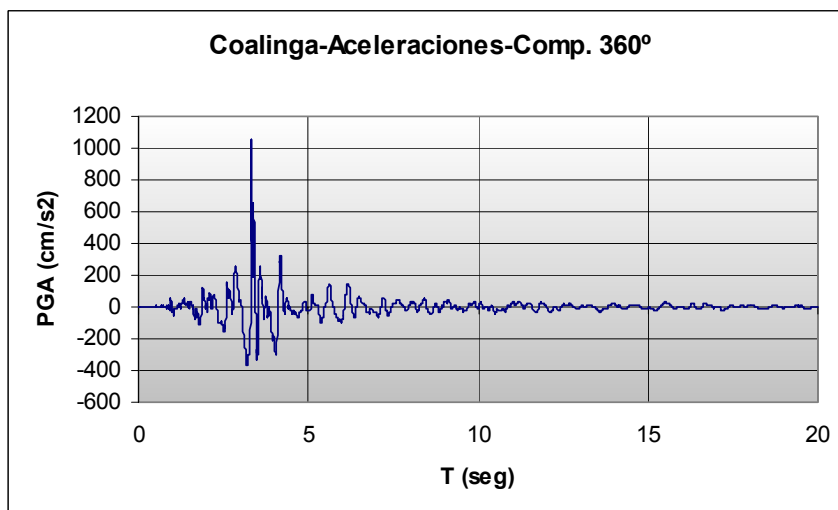
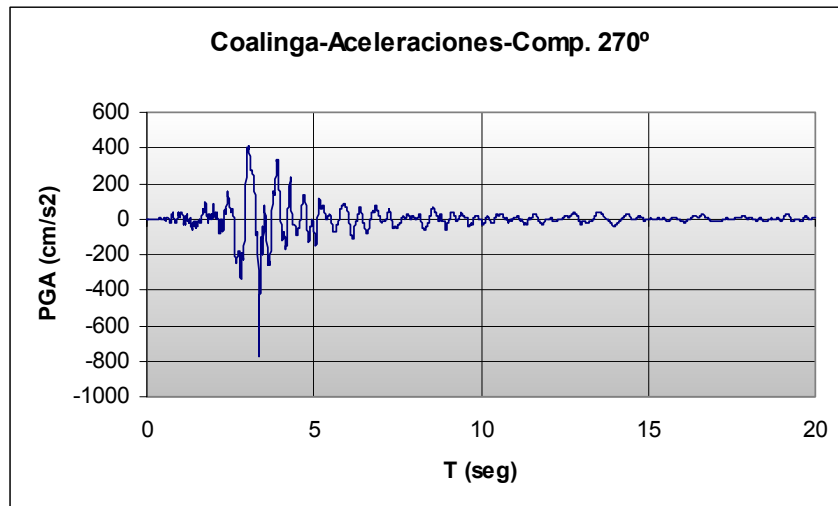
Terremoto	TABAS IRAN	PGA (g)	0.85
Estación	Tabas 9101	PGV (m/s)	121.40
Fecha	16/09/1978	PGD (cm)	94.60
Gráfico	Historia de aceleraciones en las tres componentes.		Figura N° B-401



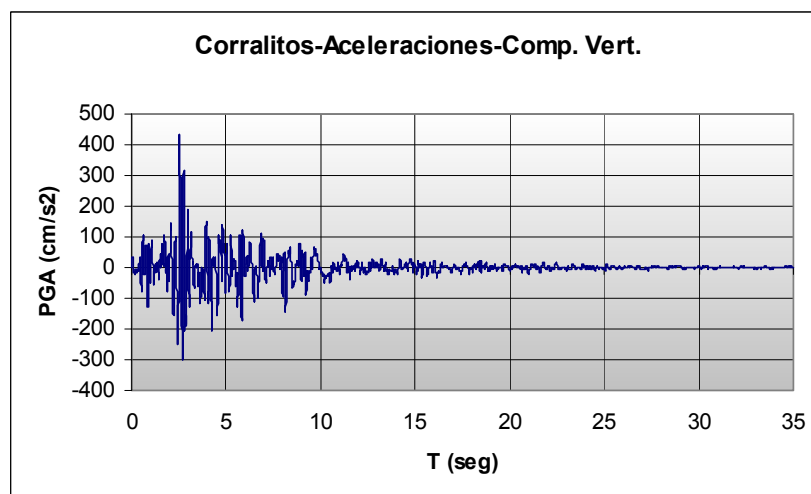
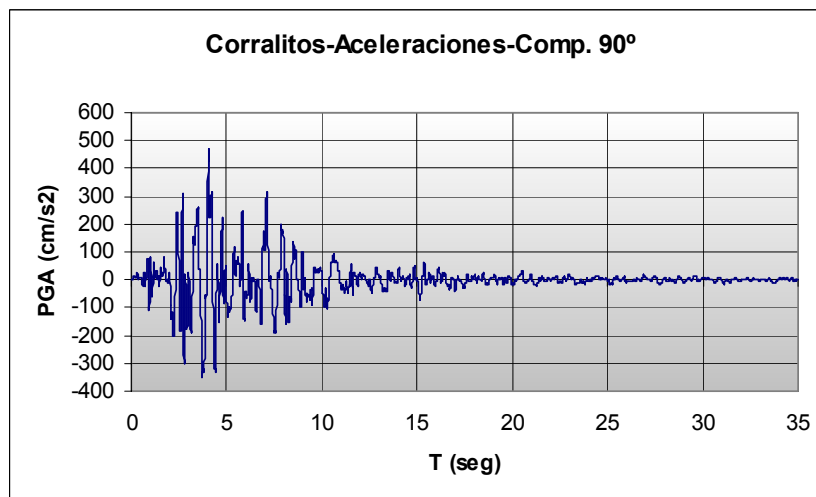
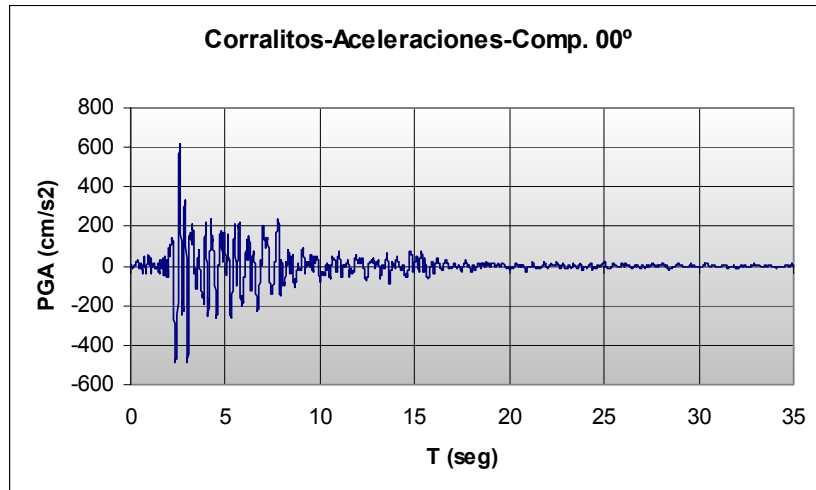
Terremoto	IMPERIAL VALLEY	PGA (g)	0.78
Estación	Bond Corner	PGV (m/s)	45.90
Fecha	15/10/1979	PGD (cm)	14.90
Gráfico	Historia de aceleraciones en las tres componentes.		Figura N° B-402



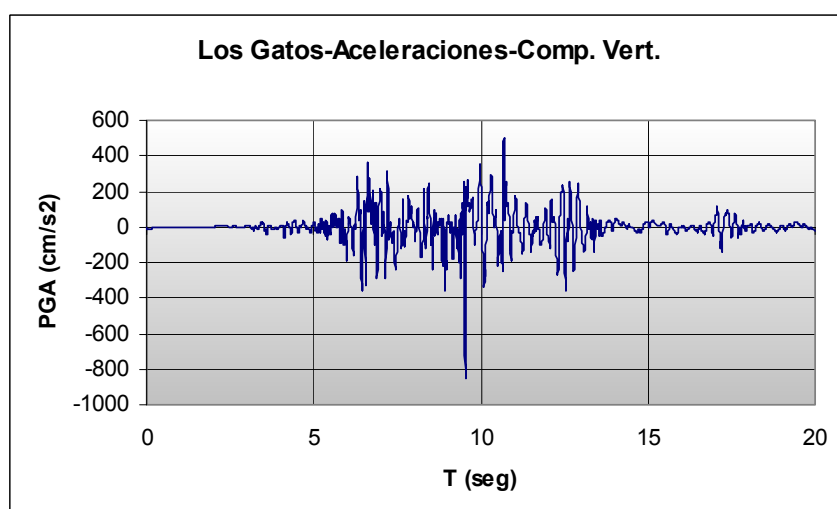
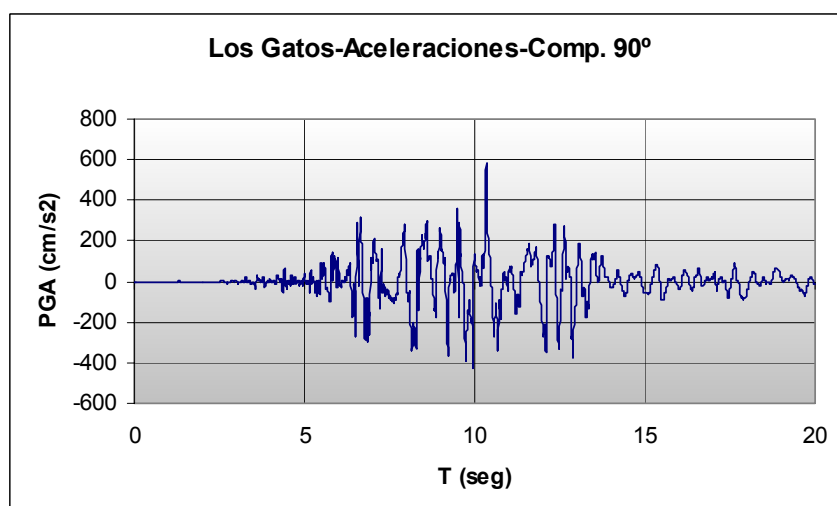
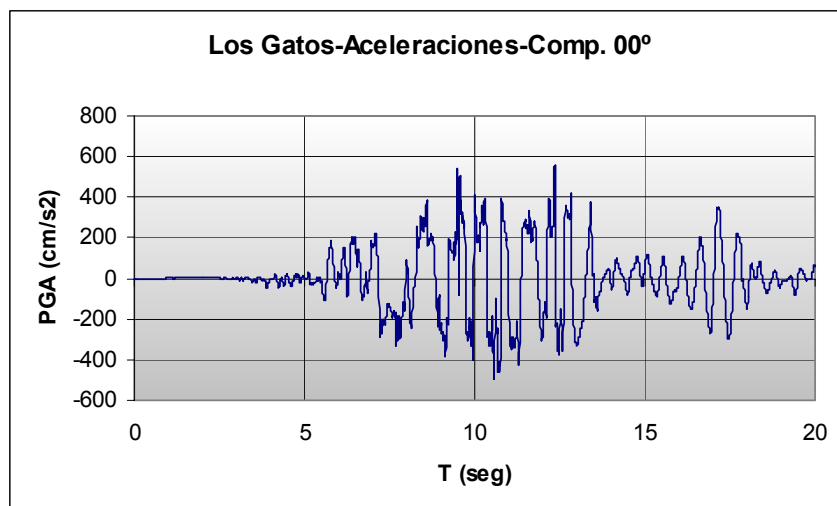
Terremoto	COALINGA	PGA (g)	1.08
Estación	Transmitter Hill	PGV (m/s)	39.70
Fecha	22/07/1983	PGD (cm)	5.40
Gráfico	Historia de aceleraciones en las tres componentes.		Figura N° B-403



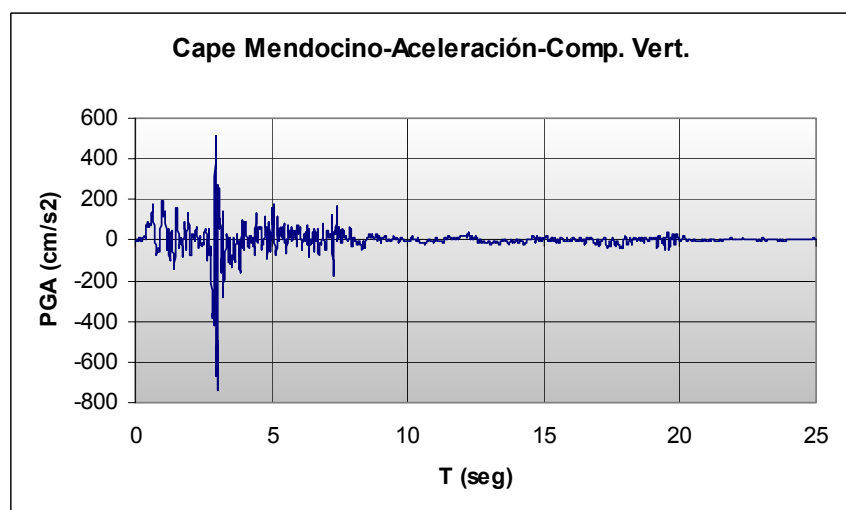
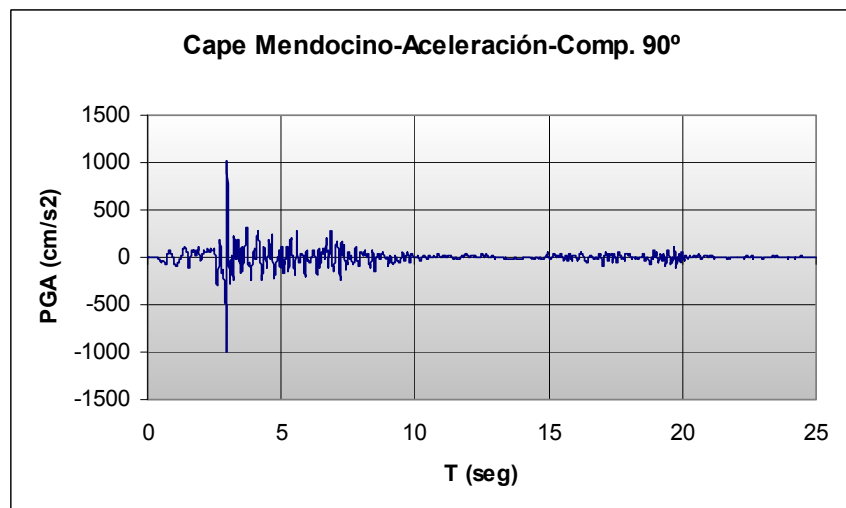
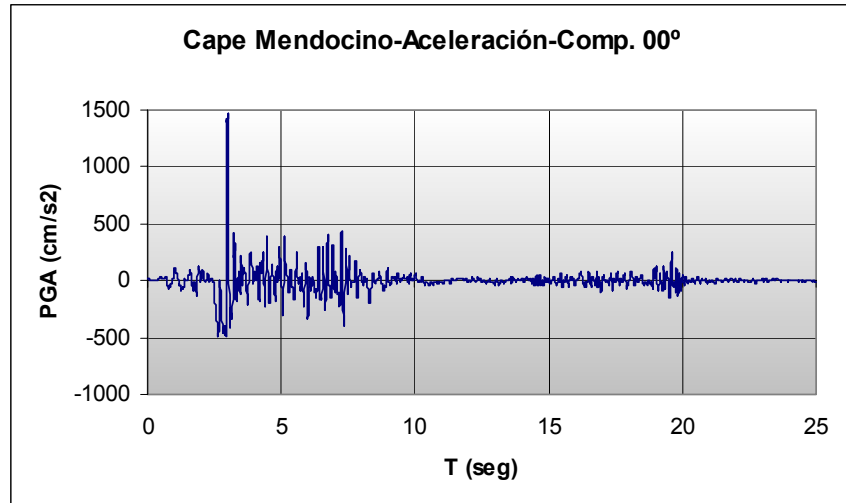
Terremoto	LOMA PRIETA	PGA (g)	0.64
Estación	Corralitos Eureka	PGV (m/s)	55.20
Fecha	17/10/1989	PGD (cm)	10.90
Gráfico	Historia de aceleraciones en las tres componentes.		Figura N° B-404



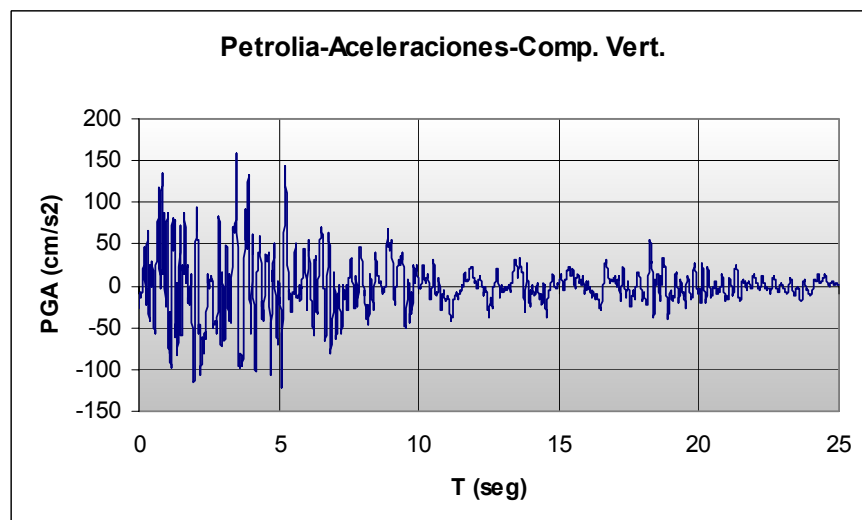
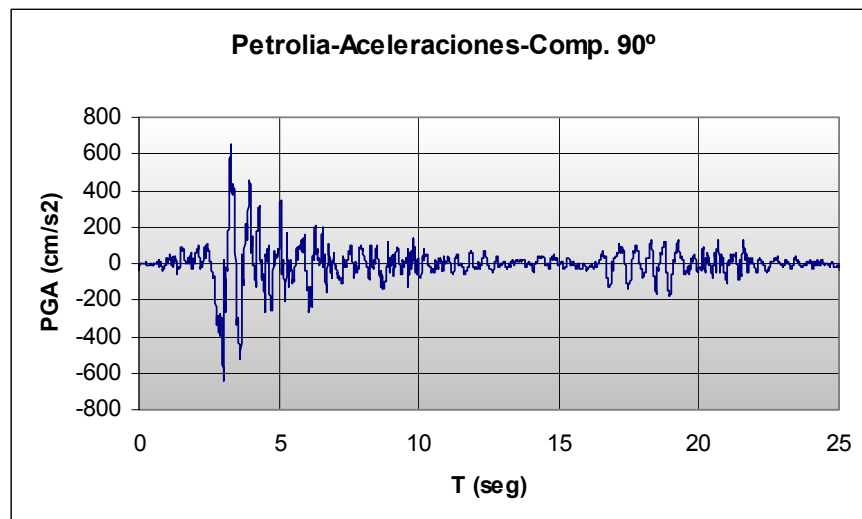
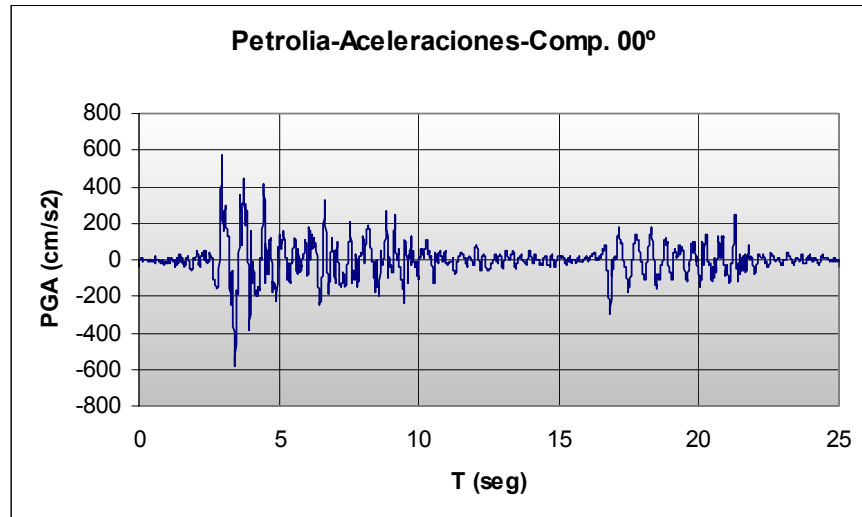
Terremoto	LOMA PRIETA	PGA (g)	0.59
Estación	Los Gatos	PGV (m/s)	91.60
Fecha	17/10/1989	PGD (cm)	34.80
Gráfico	Historia de aceleraciones en las tres componentes.		Figura N° B-405



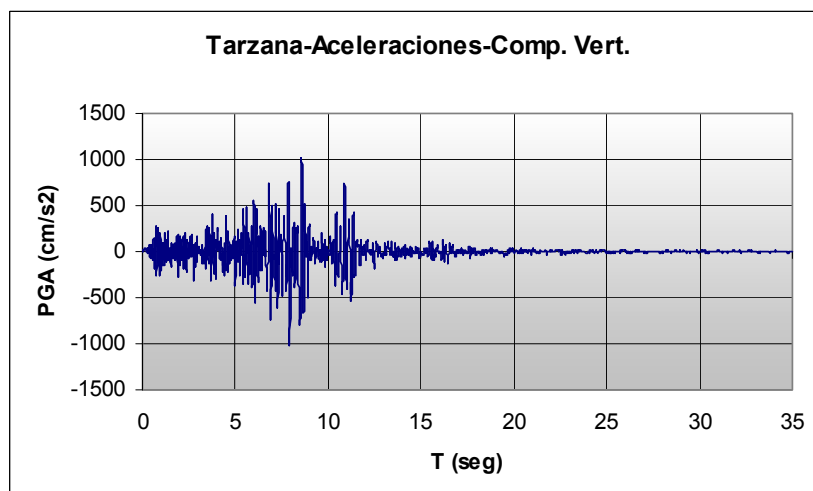
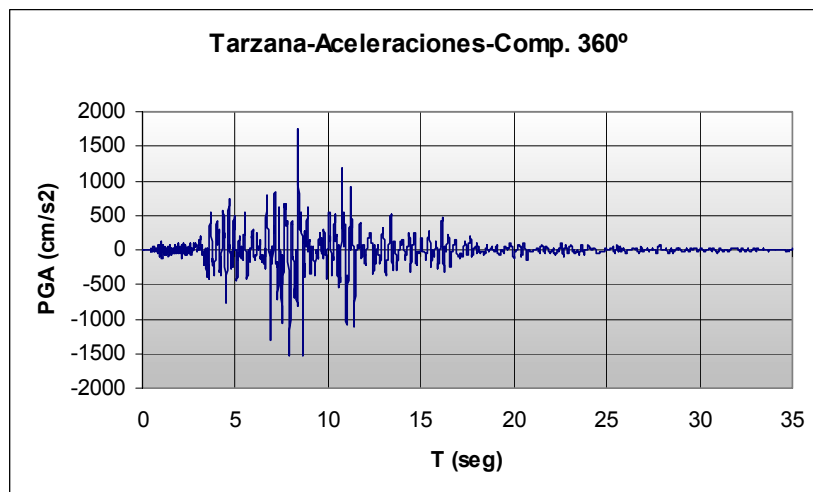
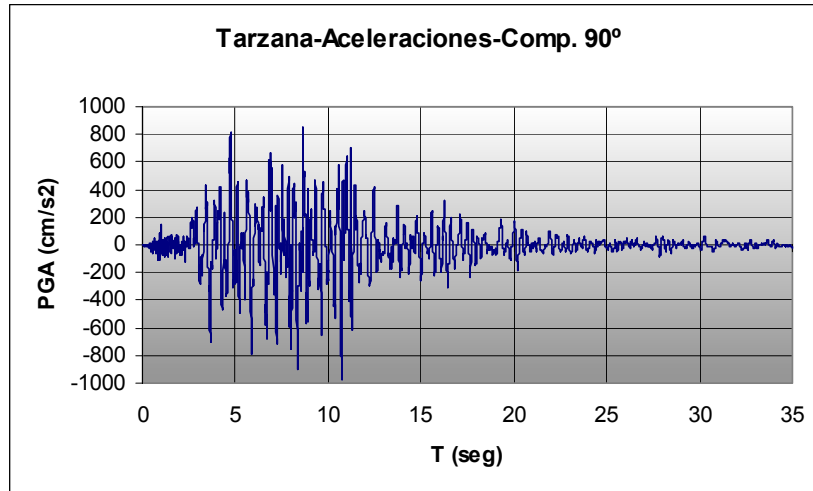
Terremoto	CAPE MENDOCINO	PGA (g)	1.50
Estación	Cape Mendocino	PGV (m/s)	127.40
Fecha	25/04/1992	PGD (cm)	41
Gráfico	Historia de aceleraciones en las tres componentes.		Figura N° B-406



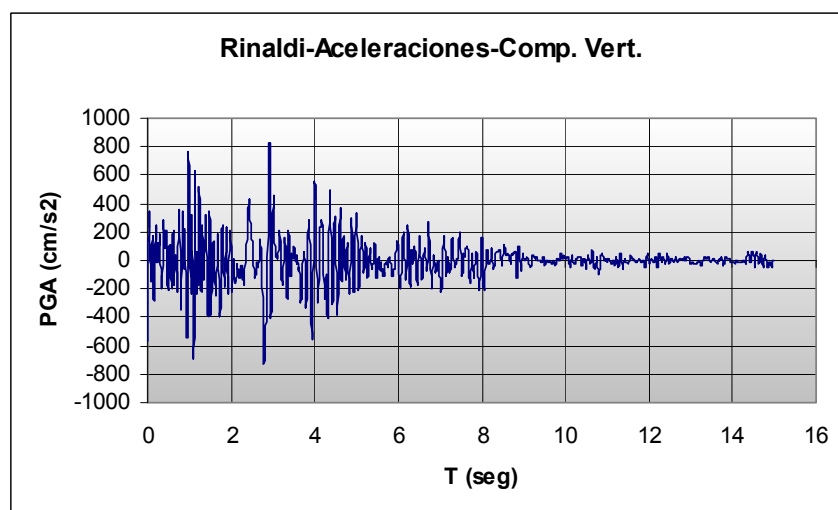
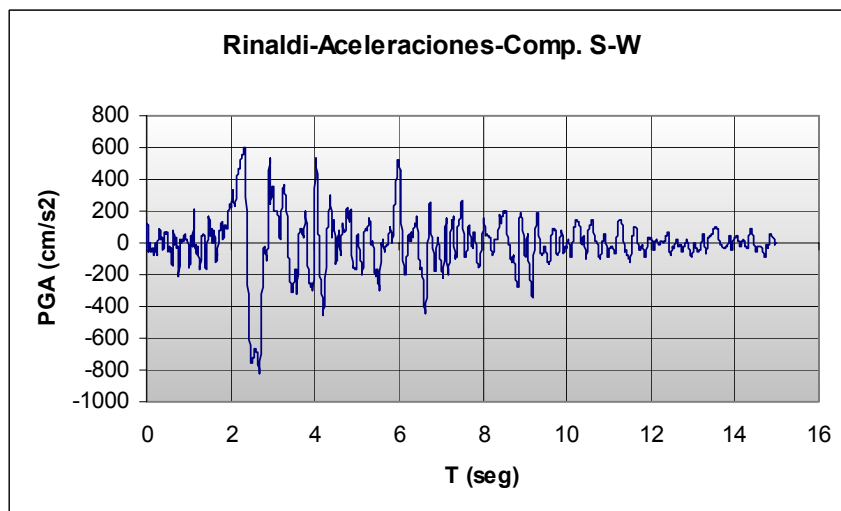
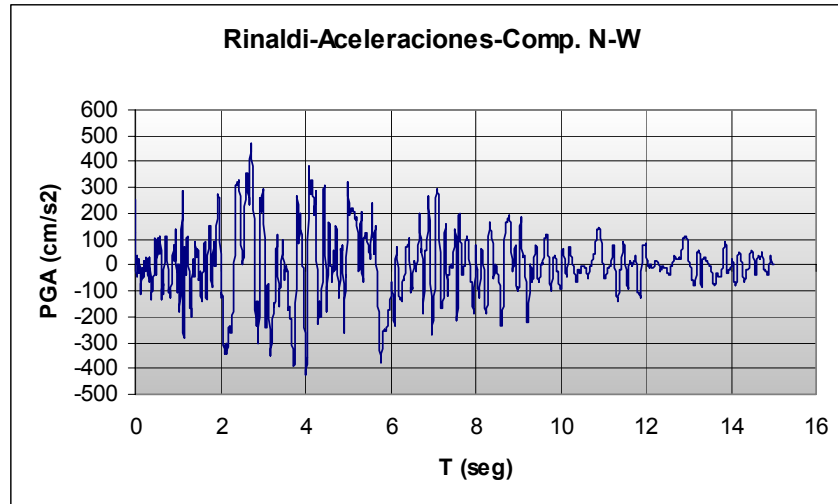
Terremoto	CAPE MENDOCINO	PGA (g)	0.662
Estación	Petrolia	PGV (m/s)	89.45
Fecha	25/04/1992	PGD (cm)	25.83
Gráfico	Historia de aceleraciones en las tres componentes.		Figura N° B-407



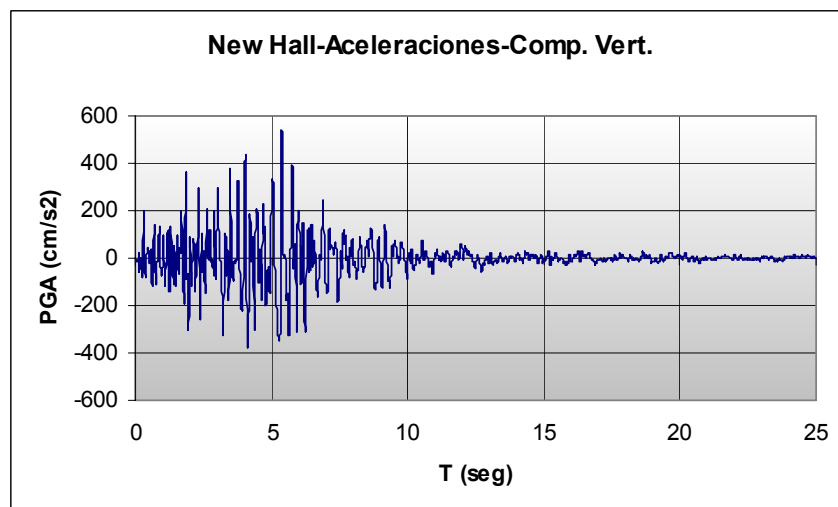
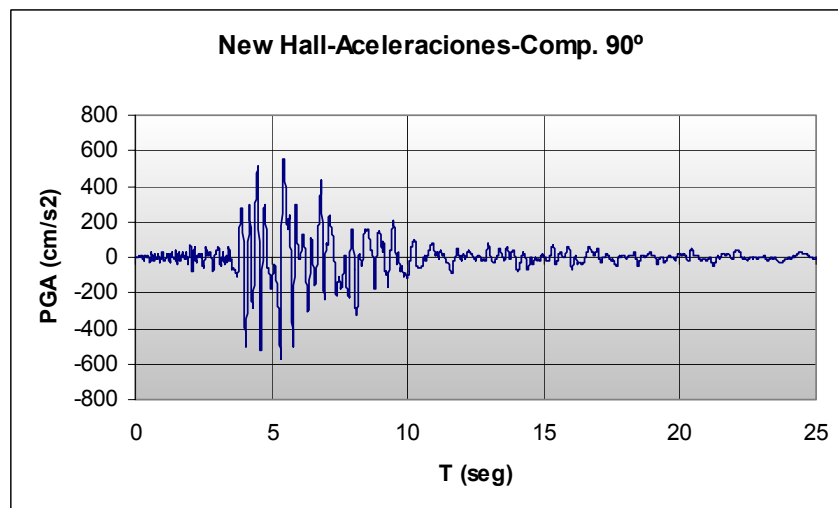
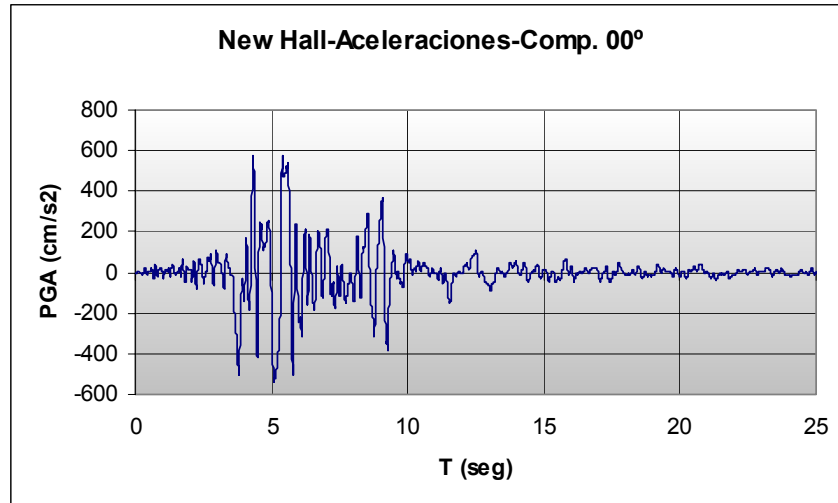
Terremoto	NORTHRIDGE	PGA (g)	1.78
Estación	Tarzana. Cedar Hill. Nursery	PGV (m/s)	113.60
Fecha	17/01/1994	PGD (cm)	33.20
Gráfico	Historia de aceleraciones en las tres componentes.		Figura N° B-408



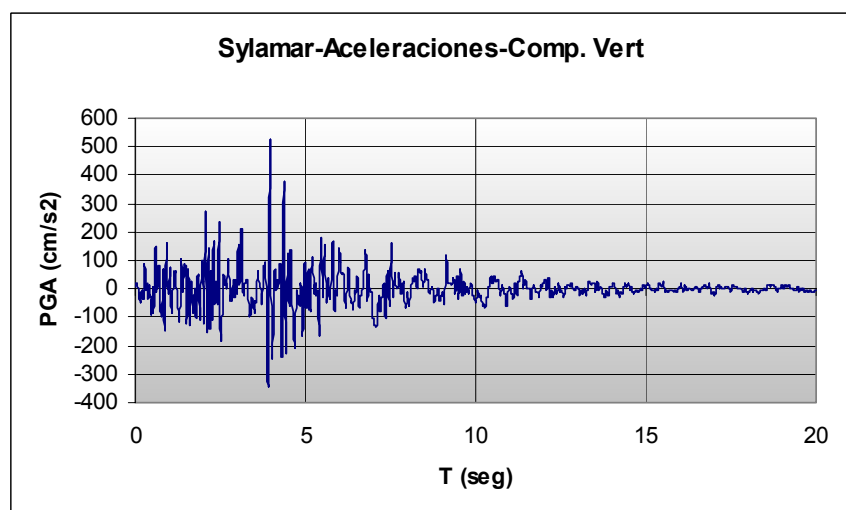
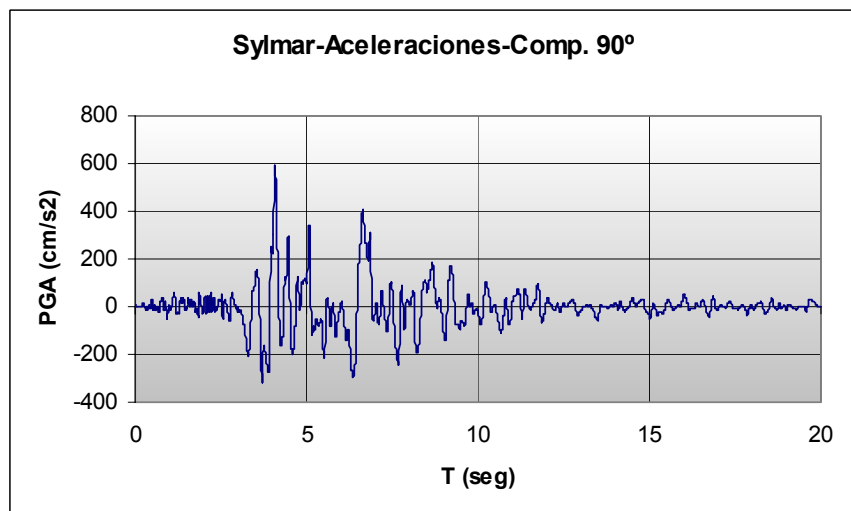
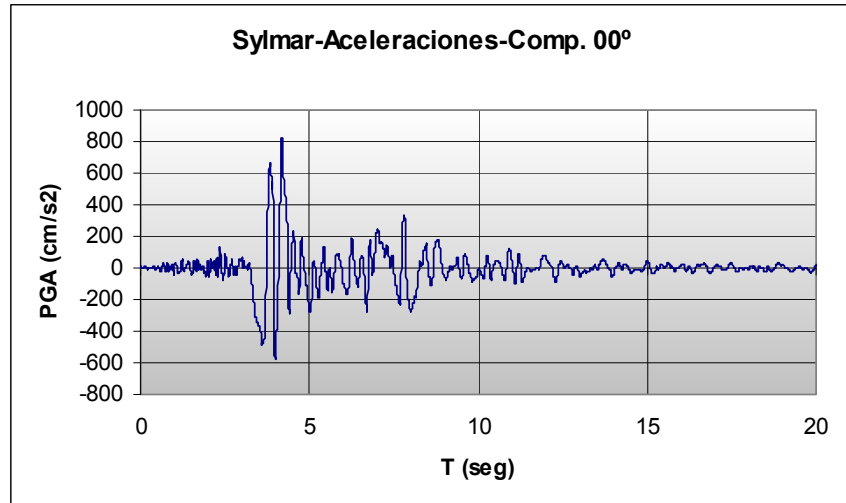
Terremoto	NORTHRIDGE	PGA (g)	0.84
Estación	Rinaldi Receiving Sta	PGV (m/s)	170.30
Fecha	17/01/1994	PGD (cm)	47.33
Gráfico	Historia de aceleraciones en las tres componentes.		Figura N° B-409



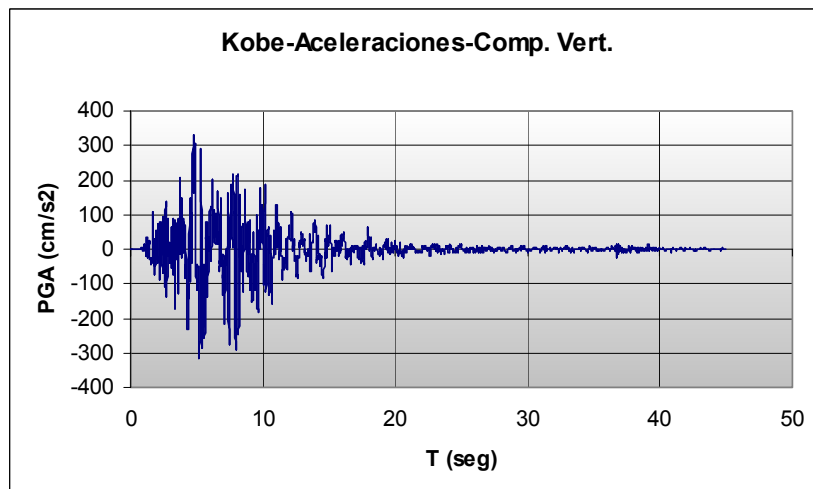
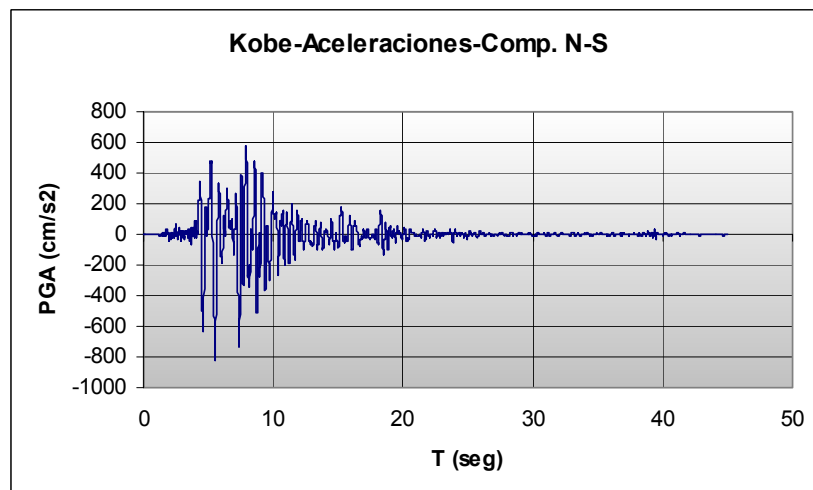
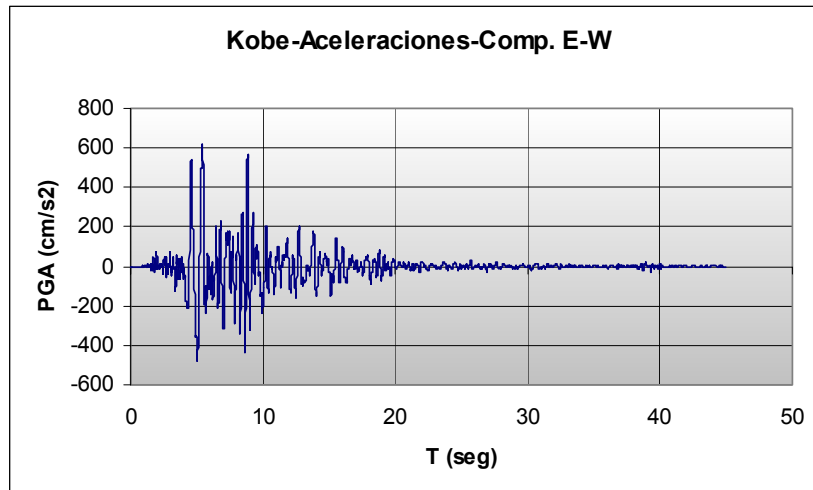
Terremoto	NORTHRIDGE	PGA (g)	0.589
Estación	New Hall. La Country Fire Station	PGV (m/s)	94.72
Fecha	17/01/1994	PGD (cm)	39.84
Gráfico	Historia de aceleraciones en las tres componentes.		Figura N° B-410



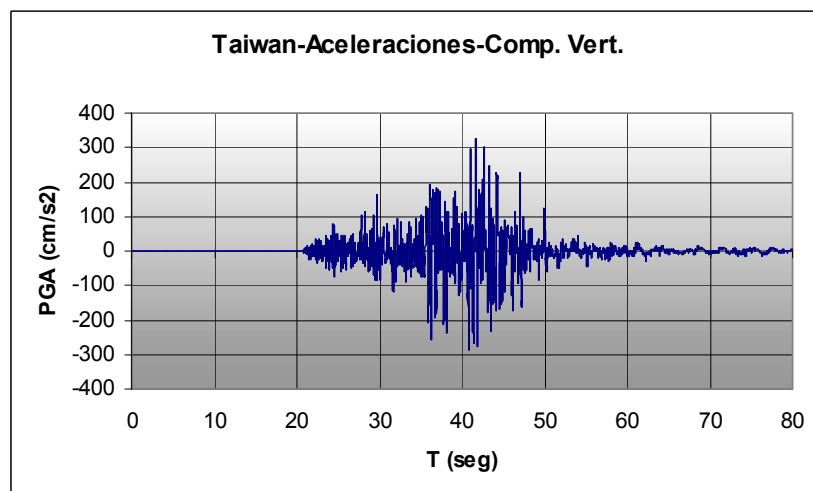
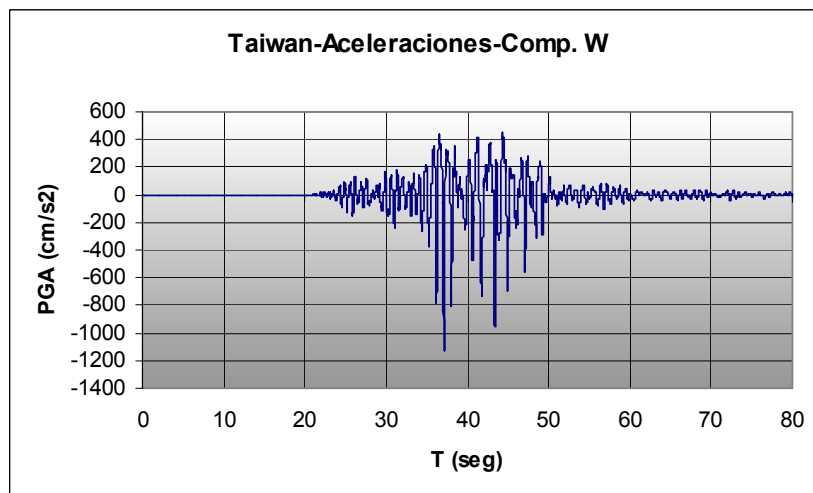
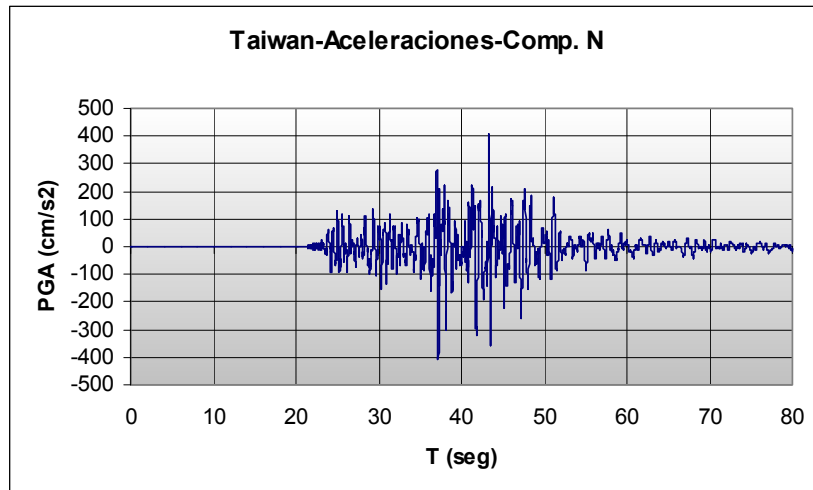
Terremoto	NORTHRIDGE	PGA (g)	0.842
Estación	Sylmar	PGV (m/s)	124.70
Fecha	17/01/1994	PGD (cm)	28.91
Gráfico	Historia de aceleraciones en las tres componentes.		Figura N° B-411



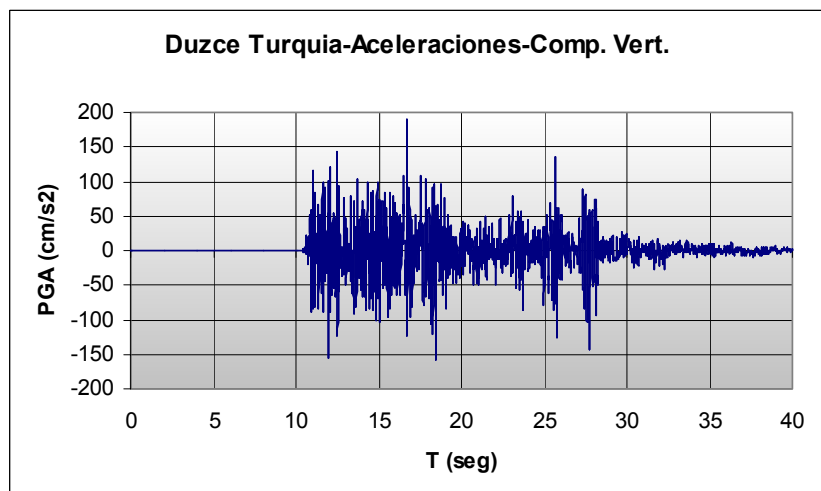
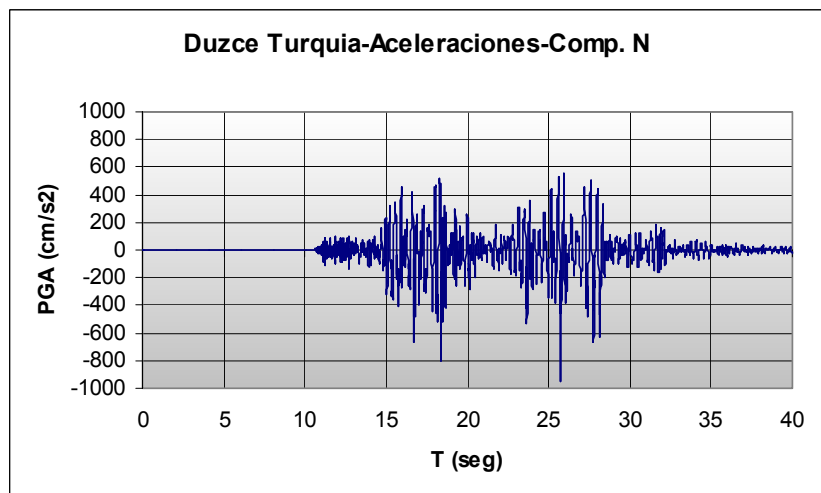
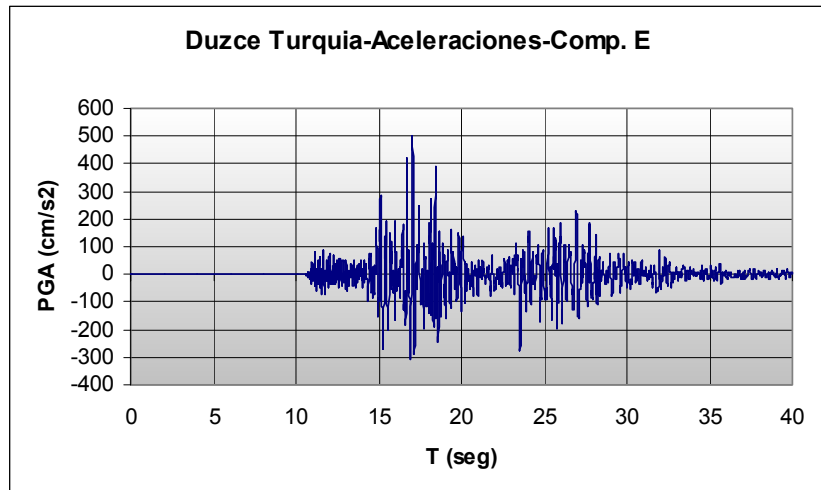
Terremoto	KOBE	PGA (g)	0.82
Estación	Kobe Observatory JMA	PGV (m/s)	81.30
Fecha	17/01/1995	PGD (cm)	17.70
Gráfico	Historia de aceleraciones en las tres componentes.		Figura N° B-412



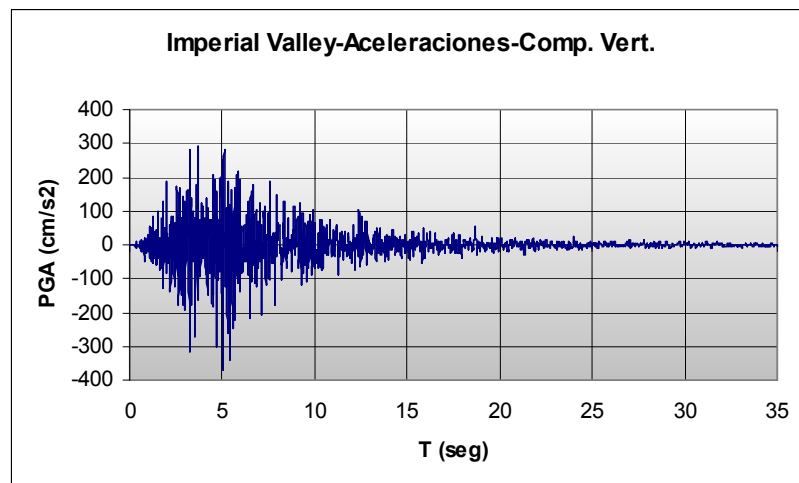
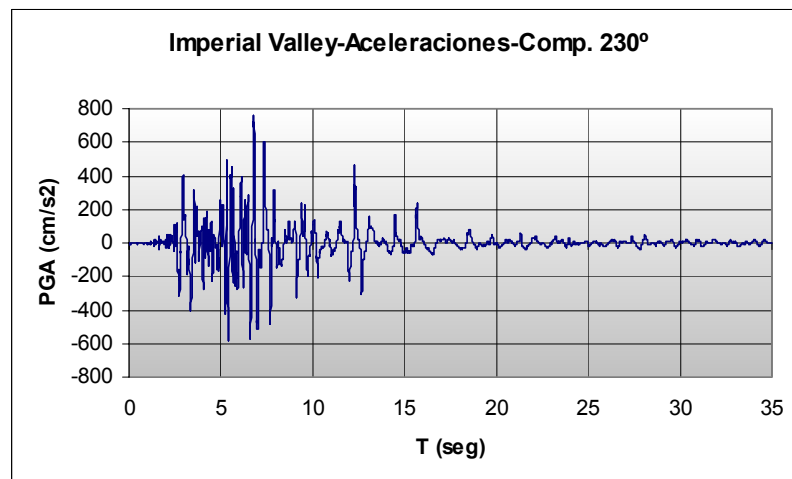
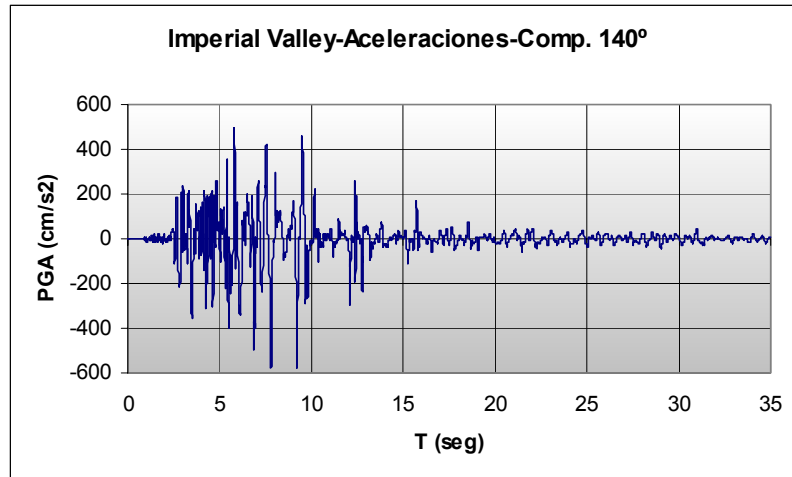
Terremoto	CHI – CHI. TAIWAN	PGA (g)	1.16
Estación	TCU084	PGV (m/s)	114.70
Fecha	29/09/1999	PGD (cm)	31.40
Gráfico	Historia de aceleraciones en las tres componentes.		Figura N° B-413



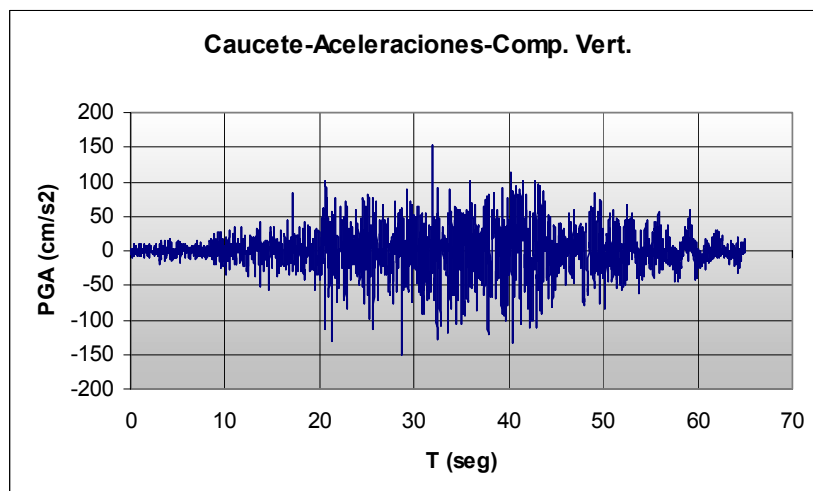
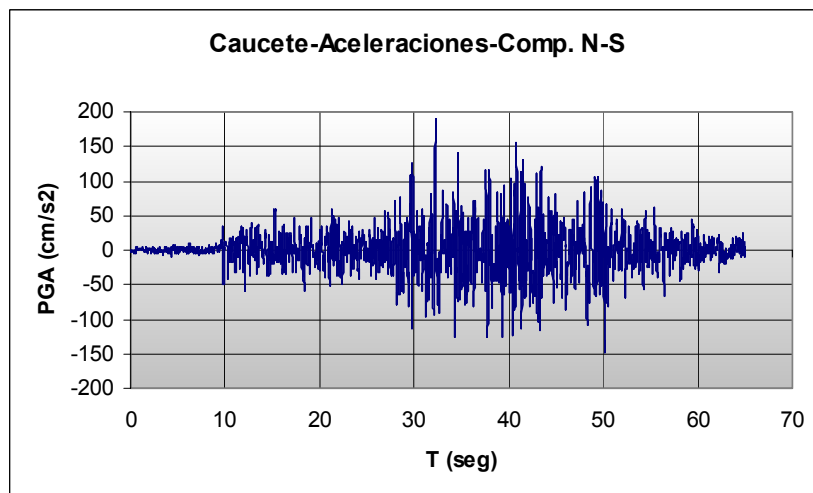
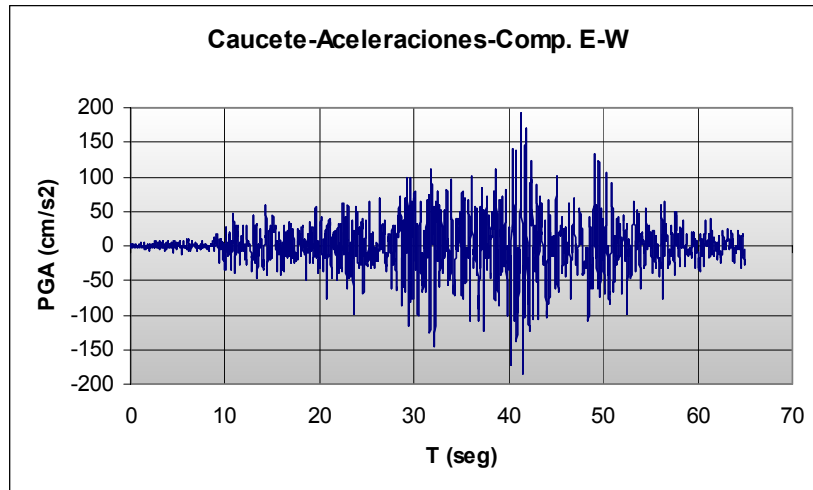
Terremoto	DUZCE. TURQUIA	PGA (g)	0.97
Estación	Lamont 375	PGV (m/s)	36.50
Fecha	12/11/1999	PGD (cm)	7.20
Gráfico	Historia de aceleraciones en las tres componentes.		Figura N° B-414



Terremoto	IMPERIAL VALLEY	PGA (g)	0.456
Estación	El Centro. Array N° 6.	PGV (m/s)	108.71
Fecha	15/10/1979	PGD (cm)	55.16
Gráfico	Historia de aceleraciones en las tres componentes.		Figura N° B-415



Terremoto	CAUCETE. SAN JUAN.	PGA (g)	0.20
Estación	INPRES	PGV (m/s)	20.30
Fecha	23/11/1977	PGD (cm)	----
Gráfico	Historia de aceleraciones en las tres componentes.	Figura N°	B-416



Terremoto	LAS HERAS. MENDOZA.	PGA (g)	0.41
Estación	Las Heras.	PGV (m/s)	28.12
Fecha	26/01/1985.	PGD (cm)	3.87
Gráfico	Historia de aceleraciones en las tres componentes.	Figura N°	B-417

